

이 규격은 2006년에 제1판으로 발행된 IEC 62305-1, Protection against lightning—Part 1 : General principles을 기술적인 내용과 규격의 양식을 변경하지 않고 한국산업규격으로 제정한 것이다.

International Electrotechnical Commission

KS C IEC 62305(피뢰 설비)

피뢰시스템 – 제1부 : 일반 원칙

Protection against lightning – Part 1 : General principles

제공 _ 기술표준원

[표 H.41] 보호대책의 비용 C_P 와 C_{PM} (단위: \$)

| 보호대책 | C_P | C_{PM} |
|--|---------|----------|
| 레벨 I 피뢰시스템I | 100,000 | 10,000 |
| 방화시스템 | 50,000 | 5,000 |
| 구역 Z_3 과 Z_4 차폐 ($\omega = 0.5$) | 100,000 | 10,000 |
| 구역 Z_3 과 Z_4 차폐 ($\omega = 0.1$) | 110,000 | 11,000 |
| 전원계통에 설치한 SPD (1.5x) | 20,000 | 2,000 |
| 전원계통에 설치한 SPD (2x) | 24,000 | 2,400 |
| 전원계통에 설치한 SPD (3x) | 30,000 | 3,000 |
| TLC시스템에 설치한 SPD (1.5x) | 10,000 | 1,000 |
| TLC시스템에 설치한 SPD (2x) | 12,000 | 2,000 |
| TLC시스템에 설치한 SPD (3x) | 15,000 | 1,500 |

연간 절약금액은

$$S = C_L - (C_R + C_{PM})$$

으로 산출되며, 표 H.42에 나타내었다.

[표 H.42] 연간 절약금액 (단위: \$)

| | |
|-------|--------|
| 대책 a) | 84,186 |
| 대책 b) | 89,248 |
| 대책 c) | 84,078 |

H.4 아파트

앞의 사례 연구에서와 마찬가지로 낙뢰밀도가 $N_g = 4(1/km^2/년)$ 인 지역에 위치한 아파트에 대한 위험성 R_L 의 평가에 대한 것이다.

표 3에 따라 위험 요소 R_B , R_U 와 R_V 이 평가되어야 한다.

건물은 고립되어 있다. 다른 근접한 구조물이 없다.

인입설비는 다음과 같다.

- 저압 전원선
- 전화선

구조물의 특성은 표 H.43과 같다.

[표 H.43] 구조물의 특성

| 파라미터 | 해설 | 기호 | 값 |
|--------|----------------------|-----------------------------|----------|
| 치수 (m) | – | $L_b \times W_b \times H_b$ | 30×20×20 |
| 위치계수 | 고립 | C_d | 1 |
| 피뢰시스템 | | P_B | 1 |
| 낙뢰밀도 | 1/km ² /년 | N_g | 4 |

구역은 다음과 같이 정의될 수 있다.

– Z_1 (빌딩 외측)

– Z_2 (빌딩 내측)

빌딩 외측에 위치한 사람은 없다. 그러므로 구역 Z_1 의 위험성 R_L 은 무시해도 된다.

경제성 평가는 필요 없다.

구역 Z_2 의 파라미터는 표 H.44에 주어진다.

[표 H.44] 구역 Z_2 파라미터

| 파라미터 | 해설 | 기호 | 값 |
|---------------------------------|-------------|-------|-----------|
| 바닥표면 유형 | 목재 | r_u | 10^{-5} |
| 화재의 위험성 | 변수 | r_f | – |
| 특별한 위험 | 없음 | h_z | 1 |
| 방화 | 없음 | r_p | 1 |
| 전경보호 | 없음 | – | – |
| 내부 전원계통 | 저압 전원선에 접속된 | – | – |
| 내부 전화시스템 | 전화선에 접속된 | – | – |
| 접촉전압과 보폭전압에 의한 손실 (R_L 에 관련) | 있음 | L_t | 10^{-4} |
| 물리적 손상에 의한 손실 (R_L 에 관련) | 있음 | L_t | 10^{-1} |

내부시스템과 관련인입선의 특성은 전원계통에 대하여는 표 H.45에, 통신시스템에 대하여는 표 H.46에 주어진다.

[표 H.45] 내부 전원계통과 관련인입선 파라미터

| 파라미터 | 해설 | 기호 | 값 |
|--------------------|------------------------|-------------------------------|-----|
| 대지저항률 | $\Omega \cdot m$ | ρ | 250 |
| 길이 (m) | - | L_c | 200 |
| 높이 (m) | 매설 | - | - |
| 고압/저압 변압기 | 없음 | C_t | 1 |
| 선로 위치계수 | 작은 물체에 의해 둘러싸임 | C_d | 0.5 |
| 선로 환경계수 | 교외 | C_e | 0.5 |
| 선로차폐 | 비차폐 | P_{LD} | 1 |
| | | P_{LI} | 0.4 |
| 장비내전압 U_w | $U_w = 1.5 \text{ kV}$ | K_{S4} | 0.6 |
| 협조된 SPD보호 | 없음 | P_{SPD} | 1 |
| 끌 "a" 선 구조물 치수 (m) | 없음 | $(L_a \times W_a \times H_a)$ | - |

[표 H.46] 내부 전화시스템과 관련인입선 파라미터

| 파라미터 | 해설 | 기호 | 값 |
|--------------------|------------------------|-------------------------------|-----|
| 대지저항률 | $\Omega \cdot m$ | ρ | 250 |
| 길이 (m) | - | L_c | 100 |
| 높이 (m) | 매설 | - | - |
| 선로 위치계수 | 작은 물체에 의해 둘러싸임 | C_d | 0.5 |
| 선로 환경계수 | 교외 | C_e | 0.5 |
| 선로차폐 | 없음 | P_{LD} | 1 |
| | | P_{LI} | 1 |
| 장비내전압 U_w | $U_w = 1.5 \text{ kV}$ | K_{S4} | 1 |
| 협조된 SPD보호 | 없음 | P_{SPD} | 1 |
| 끌 "a" 선 구조물 치수 (m) | 없음 | $(L_a \times W_a \times H_a)$ | - |

허용레벨 $R_T = 10^{-5}$ 로 위험성을 감소시키기 위하여 위험성 R_i 값과 채택되는 보호대책은 건물의 높이와 이의 화재의 위험성에 따라 표 H.47에 주어진다.

[표 H.47] 건물의 높이와 이것의 화재 위험성에 따라 채택되는 보호대책

| 화재의 위험성 | 높이 m | LPS 유형 | 방화 | $R_i (\times 10^{-5})$ | 보호된 구조물 |
|---------|------|--------|-----|------------------------|---------|
| 보통 | 20 | - | - | 0.77 | × |
| | | - | - | 7.7 | 아님 |
| | | III | - | 0.74 | × |
| | | IV | (2) | 0.73 | × |
| 높음 | 40 | - | - | 77 | 아님 |
| | | II | (3) | 0.74 | × |
| | | I | - | 1.49 | 아님 |
| | | I | (1) | 0.74 | × |
| 보통 | 40 | - | - | 2.33 | 아님 |
| | | - | (3) | 0.46 | × |
| | | IV | - | 0.46 | × |
| | | - | - | 23.3 | 아님 |
| 높음 | 40 | IV | (3) | 0.93 | × |
| | | I | - | 0.46 | × |
| | | - | - | 233 | 아님 |
| | | I | (3) | 0.93 | × |

- (1) 소화기
- (2) 소화전
- (3) 자동경보

부속서 I (참고)

인입설비에 대한 사례 연구 - 통신선

I.1 일반사항

고려되는 인입설비는 금속도체를 사용하는 통신선이다. 공공 인입설비의 손실(L2)과 경제적 가치의 손실(LA)은 상응하는 위험성 R'_2 와 R'_4 가 평가되도록 유형에 따라 영향을 받으며, 그러나 네트워크운영자의 요구를 따라 단지 R'_2 만이 고려되기도 한다.

I.2 기본자료

낙뢰밀도 $N_g = 4(1/\text{km}^2/\text{년})$ 인 지역에 위치한 선로를 그림 I.1에 나타내었다(선로를 따라서 설치된 장비는 없다).

I.3 선로의 특성

선로는 아래의 2개의 구획:

- 구획 S_1 : 교환국 건물에 접속된 매설 차폐선 : 이 구획에 보호대책이 설치되어 있지 않다.
 - 구획 S_2 : 가입자 건물에 접속된 가공 차폐선 : 이 구획에 보호대책이 설치되어 있지 않다.
- 그리고 3개의 전이점으로 구성되어 있다.
- T_b : 건물 "b"(즉, 교환국 건물)로의 S_1 구획의 입구점: 이 점에 보호대책이 설치되어 있지 않다.
 - $T_{1/2}$: 구획 S_1 과 구획 S_2 사이: 이 점에 보호대책이 설치되어 있지 않다.
 - T_a : 건물 "a"(즉, 가입자 건물)로의 구획 S_2 의 입구점: 이 점에 보호대책이 설치되어 있지 않다.

구획의 S_1 차폐물은 수십 Ω 의 접지저항으로 양 끝(즉, 교환국 건물 내의 본딩 바(T_b)와 전이점 $T_{1/2}$)에서 대지에 접속된다.

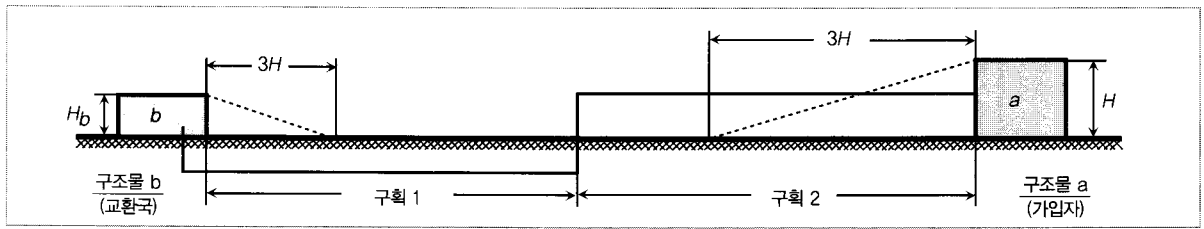
선로의 특성은 S_1 구획에 대해서는 표 I.1 그리고 구획 S_2 에 대해서는 표 I.2에 주어져 있다.

I.4 선로 구조물 특성의 종단

선로 구조물 종단의 특성은 표 I.3과 같다.

I.5 연간 위험한 사건이 예상되는 횟수

위험한 사건의 연간 예상되는 수는 부속서 A에 따라 평가되며, 데이터는 표 I.4와 같다.



[그림 I.1] 보호대상 통신선

[표 I.1] 구획 S₁의 선로특성

| 파라미터 | 해설 | 기호 | 값 |
|-------------------------|------------------|-----------|--------------------|
| 대지저항률 | $\Omega \cdot m$ | ρ | 500 |
| 길이 (m) | — | L_c | 600 |
| 높이 (m) | 매설 | — | — |
| 선로 위치계수 | 둘러싸임 | C_d | 0.5 |
| 선로 환경계수 | 시끌 | C_e | 1 |
| 선로 차폐저항 (Ω/km) | — | R_s | 0.5 |
| 선로차폐의 유형 | 납 | — | — |
| 차폐 특성 | 토양에 접촉되지 않음 | K_d | 0.4 |
| 선로절연의 유형 | 절연지 | $U_w(kV)$ | 1.5 |
| 전이점 T_b 내의 장비의 유형 | 전자 | $U_w(kV)$ | 1.5 ⁽¹⁾ |
| 전이점 $T_{1/2}$ 내의 장비의 유형 | 없음 | — | — |
| 보호대책 | 없음 | K_p | 1 |

⁽¹⁾ ITU-T 권고 K.20의 강화레벨[4][표 I.2] 구획 S₂의 선로특성

| 파라미터 | 해설 | 기호 | 값 |
|-------------------------|------------------|-----------|--------|
| 대지저항률 | $\Omega \cdot m$ | ρ | 500 |
| 길이 (m) | — | L_c | 800 |
| 높이 (m) | 매설 | H_c | 6 |
| 선로 위치계수 | 둘러싸임 | C_d | 0.5 |
| 선로 환경계수 | 시끌 | C_e | 1 |
| 선로 차폐저항 (Ω/km) | 비차폐 | — | — |
| 선로 절연의 유형 | 절연지 | $U_w(kV)$ | 5 |
| 전이점 T_b 내의 장비의 유형 | 전자 | $U_w(kV)$ | 1.5(1) |
| 전이점 $T_{1/2}$ 내의 장비의 유형 | 없음 | — | — |
| 보호대책 | 없음 | K_p | 1 |

⁽¹⁾ ITU-T 권고 K.20의 강화레벨

[표 I.3] 선로 구조물 특성의 종단

| 구조물 | 치수 m $L \times W \times H$ | 위치계수 C_d | 구조물에 접속된 인입설비의 수 n |
|-----|-------------------------------|---------------|-----------------------|
| "a" | 25×20×15 | 2 | 3 |
| "b" | 20×30×10 | 0.5 | 10 |

[표 I.4] 위험한 사건의 연간 예상되는 수

| 파라미터 | 값 (1/년) |
|-------------|---------|
| N_{Da} | 0.087 9 |
| N_{Db} | 0.012 9 |
| $N_{L(S1)}$ | 0.023 5 |
| $N_{L(S2)}$ | 0.617 |
| $N_{L(S3)}$ | 0.052 2 |
| $N_{L(S4)}$ | 1.6 |

I.6 위험 요소

각 구획에 관련된 위험 요소는 표 I.5와 같다.

위험 요소의 평가에 필요로 하는 고장전류와 확률은 표 I.6과 같다.

[표 I.5] 위험성 R'_z – 선로의 구획 S에 관련된 위험 요소

| 파라미터 | S_1 | S_2 |
|-------------|-------|-------|
| $R'_{B(a)}$ | — | × |
| $R'_{B(b)}$ | × | — |
| $R'_{C(a)}$ | — | × |
| $R'_{C(b)}$ | × | — |
| R'_v | × | × |
| R'_w | × | × |
| R'_z | × | × |

[표 I.6] 위험성 R'_z – 보호되지 않는 선로에 대한 고장전류의 값과 확률 P'

| 파라미터 | S_1 | S_2 |
|--|---------------|-----------|
| $I_{sh(C)}(kA)$ | $>600^{(1)}$ | $0^{(2)}$ |
| $I_{sh}(kA)$ | $40^{(3)}$ | $0^{(2)}$ |
| $I_{shw}(kA)$ | $125^{(4)}$ | $0^{(2)}$ |
| $R'_{B(a)ta(B)}$ | — | $1^{(5)}$ |
| $R'_{B(b)ta(B)}$ | $0.001^{(5)}$ | — |
| $R'_{C(a)ta(B)}$ | — | $1^{(5)}$ |
| $R'_{C(b)ta(B)}$ | $0.001^{(5)}$ | — |
| $R'_{V(taV)}$ | 0.4 | 1 |
| $R'_{W(taW)}$ | 0.035 | 1 |
| $R'_{Zta(b)}$ (전이점 T_b 내의 장비에 대해 $U_w=1.5 kV$) ⁽⁶⁾ | $0.5^{(8)}$ | $1^{(8)}$ |
| R'_{Zta} (전이점 T_b 내의 장비에 대해 $U_w=1.5 kV$) ⁽⁶⁾ | $0.02^{(7)}$ | $1^{(8)}$ |
| R'_{Zta12} (지중케이블의 절연파괴에 대해 $U_w=1.5 kV$) ⁽⁸⁾ | $0.5^{(9)}$ | $1^{(8)}$ |

⁽¹⁾ $L = 25 \times U_w / (R_s \times K_d \times K_p)$ 이며, $K_p = 1$ 과 $K_d = 0.40$ 이다(부속서 D.1과 표 D.1 참조)⁽²⁾ 비차폐케이블에 대하여 $I_{sh} = 0$ (부속서 D.1 참조)⁽³⁾ 납은 차폐하므로 $40 kA$ 로 제한된다(D.1.2 참조)⁽⁴⁾ $I_{sh} = 25U_w / (R_s \times K_d \times K_p)$ 이며, $K_p = 1$ 과 $K_d = 0.40$ 이다. (부속서 D.1.2와 표 D.1 참조)⁽⁵⁾ 표 D.5 참조⁽⁶⁾ R'_z 의 값은 표 B.7에 보고됨. 차폐된 구획에 대하여 표 B.7을 사용하기 위한 규칙은 다음과 같다. 고려되는 전이점이 2개의 차폐된 구획 사이에 있거나 차폐된 구획이 구조물에 인입되고 장비가 접속된 본딩 바에 접속된 때, “–”에 본딩된 차폐를 열에 주어진 표 B.7의 값은 차폐된 구획에 적용된다. 다른 모든 경우, 만약 차폐들이 수십 Ω 의 접지저항으로 적어도 양끝이 대지에 접속되었다면”에 본딩되지 않은 차폐를 열에 주어진 표 B.7의 값은 차폐된 구획에 적용된다. 그렇지 않으면 차폐된 구획은 차폐되지 않은 것으로 간주해야 한다.⁽⁷⁾ “–”에 본딩된 차폐” 열 아래 표 B.7의 값⁽⁸⁾ “비차폐” 열 아래 표 B.7의 값⁽⁹⁾ “에 본딩되지 않은 차폐” 열 아래 표 B.7의 값

I.7 위험성 R'_2 의 평가

네트워크운영자의 경험에 기초한 피뢰시스템 설계자의 평가에 따라, 위험성 R_2 에 관련된 연간 상대적 손실액에 대한 다음의 평균값이 가정된다.

$$L_f = 3 \times 10^{-3}$$

$$L_o = 10^{-3} \text{ (기본값 - 표 E.1 참조).}$$

보호되지 않는 선로에 대한 위험 요소의 값은 표 I.7과 같다.

[표 I.7] 위험성 R'_2 - 선로의 구획 S_2 에 따른 보호되지 않는 선로의 위험 요소의 값(값 $\times 10^{-3}$)

| 파라미터 | S_1 | S_2 | 선로 |
|--|-------------|---------|-------------|
| $R'_{B(a)}$ ⁽¹⁾ | - | 0.261 | 0.261 |
| $R'_{B(b)}$ ⁽¹⁾ | ≈ 0 | - | ≈ 0 |
| $R'_{C(a)}$ ⁽²⁾ | - | 0.087 3 | 0.087 3 |
| $R'_{C(b)}$ ⁽²⁾ | ≈ 0 | - | ≈ 0 |
| R'_{V} ⁽³⁾ | 0.028 2 | 0.156 6 | 0.184 8 |
| R'_{W} ⁽⁴⁾ | 0.000 8 | 0.052 2 | 0.053 |
| $R' = R'_{B(b)} + R'_{C(a)} + R'_{C(b)} + R'_{V} + R'_{W}$ | | 0.586 1 | |
| $R'_{Z(Ta)}$ ⁽⁵⁾ | 0.296 7 | 1.547 8 | 1.845 |
| $R'_{Z(Tb)}$ ⁽⁶⁾ | 0.011 9 | 1.547 8 | 1.59 |
| $R'_{Z(T1/2)}$ ⁽⁷⁾ | 0.296 7 | 1.547 8 | 1.845 |
| $R_{2(Ta)} = R' + R'_{Z(Ta)}$ | | 2.431 1 | |
| $R_{2(Tb)} = R' + R'_{Z(Tb)}$ | | 2.176 1 | |
| $R_{2(T1/2)} = R' + R'_{Z(T1/2)}$ | | 2.431 1 | |

$$(1) R'_{B} = N_D + R'_{B} + L'_f$$

$$(2) R'_{C} = N_D + R'_{C} + L'_o$$

$$(3) R'_{V} = N_L + R'_{V} + L'_F$$

$$(4) R'_{W} = N_L + R'_{W} + L'_o$$

$$(5) R'_{Z(Ta)} = (N_I - N_L) + R'_{Z(Ta)} + L'_o$$

$$(6) R'_{Z(Tb)} = (N_I - N_L) + R'_{Z(Tb)} + L'_o$$

$$(7) R'_{Z(T1/2)} = (N_I - N_L) + R'_{Z(T1/2)} + L'_o$$

위험성의 값 $R'_2 = 3.508 \times 10^{-3}$ 은 허용값 $R_T = 10^{-3}$ 보다 크며, 따라서 선로는 낙뢰로부터 보호될 필요가 있다.

표 I.7은 구획 S_2 에서 위험 요소 R'_2 에 기인하는 위험성 R'_2 는 전이점 T_a , T_b 및 $T_{1/2}$ 에서 허용 값을 넘어선 것을 나타낸다. 그러므로 이 위험 요소는 감소되어야 한다. 선로는 이미 설치되어 있기 때문에(그러므로 예를 들면 차폐되지 않은 구획 대신에 차폐된 구획을 이용하는 것이 가능하지 않다.) IEC 62305-5에 따르는 SPD가 보호대책으로 사용되어야 한다.

위험성 R'_2 를 허용값 이하로 줄이기 위하여, 피뢰레벨에 따라 SPD를 선정하면 충분하다. 즉, $P_{SPD} = 0.03$ (표 B.3 참조)

전이점 T_a 와 $T_{1/2}$ 에 SPD의 설치는

- 확률 $R'_{Z(Ta)}$ 와 $R'_{Z(T1/2)}$ 을 P_{SPD} 값으로 감소시킨다.
- 확률 P'_{V} 과 P'_{W} 에 영향을 미치지 않는다(D.1.2절 참조).
- 대기 중에 설치되기 때문에 구획 S_2 에 관련된 확률 P'_{B} 과 P'_{C} 에 영향을 미치지 않는다(D.1.1절 참조)

- 구획 S_1 에 관련된 확률 P'_{B} 와 P'_{C} 는 P_{SPD} 보다는 더 낮기 때문에 확률 P'_{B} 와 P'_{C} 에 영향을 미치지 않는다(D.1.1절 참조). 더욱이 정의 3.25절과 A.4절에 따라 전이점 $T_{1/2}$ 에 설치된 SPD와 더불어 $T_{1/2}$ 은 전이점 T_b 에 대한 노드가 되고, 선로의 구획 S_2 는 위험 요소 $R'_{Z(Tb)}$ 의 값에 더 이상 기여하지 않는다. 보호되는 선로에 대한 확률 P' 의 값은 표 I.8과 같다.

[표 I.8] 위험성 R'_2 - 보호되는 선로에 대한 확률 P' 의 값

| 파라미터 | S_1 | S_2 |
|--|-------|-------|
| $R'_{B(a)(a)}$ | - | 1 |
| $R'_{B(b)(a)}$ | 0.001 | - |
| $R'_{C(a)(a)}$ | - | 1 |
| $R'_{C(b)(a)}$ | 0.001 | - |
| $R'_{V(a)(V)}$ | 0.4 | 1 |
| $R'_{W(a)(W)}$ | 0.035 | 1 |
| $R'_{Z(Ta)}$ (전이점 T_a 내의 장비에 대해 $U_w = 1.5 \text{ kV}$) | 0.03 | 0.03 |
| $R'_{Z(Tb)}$ (전이점 T_b 내의 장비에 대해 $U_w = 1.5 \text{ kV}$) | 0.02 | - |
| $R'_{Z(T1/2)}$ (지중케이블의 절연파괴에 대해, $U_w = 1.5 \text{ kV}$) | 0.03 | 0.03 |

보호되는 선로에 대한 위험 요소의 값은 위험성 R'_2 이 허용값보다 더 작다는 것을 나타내는 표 I.9에 보고되어 있다. 따라서 낙뢰에 대해서 선로의 보호가 이루어진다.

[표 I.9] 위험성 R'_2 - $P_{SPD} = 0.03$ 로 전이점 $T_{1/2}$ 와 T_b 에 설치된 SPD로 보호되는 선로에 대한 위험 요소의 값(값 $\times 10^{-3}$)

| 파라미터 | S_1 | S_2 | 선로 |
|--|-------------|---------|-------------|
| $R'_{B(a)}$ | - | 0.261 | 0.261 |
| $R'_{B(b)}$ | ≈ 0 | - | ≈ 0 |
| $R'_{C(a)}$ | - | 0.087 3 | 0.0873 |
| $R'_{C(b)}$ | ≈ 0 | - | ≈ 0 |
| R'_{V} | 0.028 2 | 0.156 6 | 0.184 8 |
| R'_{W} | 0.000 8 | 0.052 2 | 0.053 |
| $R' = R'_{B(b)} + R'_{C(a)} + R'_{C(b)} + R'_{V} + R'_{W}$ | | 0.586 1 | |
| $R'_{Z(Ta)}$ | 0.017 8 | 0.055 3 | 0.073 1 |
| $R'_{Z(Tb)}$ | 0.011 9 | - | 0.011 9 |
| $R'_{Z(T1/2)}$ | 0.017 8 | 0.055 3 | 0.073 1 |
| $R_{2(Ta)} = R' + R'_{Z(Ta)}$ | | | 0.659 2 |
| $R_{2(Tb)} = R' + R'_{Z(Tb)}$ | | | 0.598 |
| $R_{2(T1/2)} = R' + R'_{Z(T1/2)}$ | | | 0.659 2 |

부속서 J (참고)

구조물의 위험성평가를 위한 간이소프트웨어

J.1 기초적 사항

단순화된 IEC 위험성평가 계산기(SIRAC)는 KS C IEC 62305-2에서 주어진 계산과 방법에 근거한 소프트웨어 도구로서 간단한 구조물의 위험 요소의 계산에 도움이 된다. 피뢰

를 위한 위험성 관리방법으로 KS C IEC 62305-2의 적용을 지원하는 것이 목적이다. 이 도구는 이 규격의 다른 부분에 기술된 위험성 관리의 보다 엄격한 처리의 단순화된 실행이라는 것에 주의하는 것이 중요하다. 이 계산기는 위험성감도의 초기 평가를 얻고자 하는 사용자를 위해 비교적 직관적으로 알 수 있게 설계되어 있다.

SIRAC의 목적과 제한은 다음과 같다.

- KS C IEC 62305-2의 일반 사용자가 이 규격의 본문에 기술된 세부사항과 방법론에 대해 충분한 지식이 없어도 전형적인 구조물에 대한 계산을 할 수 있도록 한다.
- 더 넓은 범위의 사용자에 의해 KS C IEC 62305-2 규격의 적용 및 이의 위험성평가방법의 채용을 증진시키기 위한 목적이다. 또한 이러한 사용하기 쉬운 도구는 더 넓은 파워 시스템 관련기관에서 이 규격의 수용을 증가시키는데 기여할 것으로 믿는다.
- 전형적이고 복잡하지 않는 구조물과 보다 일반적인 상황의 위험성의 계산에 맞추어진 도구를 제공하기 위한 목적이다. 이 목적을 달성하기 위해서는 특정한 파라미터는 고정된 값이며, 오직 더 한정된 부분집합으로부터 선택을 하도록 요구되는 사용자에게는 디폴트값이다.
- 소프트웨어는 이 규격의 전적인 기능을 실행하지 아니 한다. 그러한 실행은 이 도구에 의도하지 않은 복합성이 추가된다. 사용자는 복잡한 구조 또는 특수한 환경을 평가할 때 위험성의 더 상세한 처리를 위해 성문규격을 사용하는 것이 바람직하다.
- 이것은 단지 단일 구역 구조물의 계산에만 적용할 수 있다.
- 단순화된 IEC 위험성평가 계산기는 KS C IEC 62305-2 규격에 대한 지침도구로 여겨지고, 이 도구가 업데이트될 때 다운로드를 받을 수 있는 IEC FTP서버에 대한 온라인 업데이트 기능을 통해 지원된다.

J.2 파라미터의 설명

이 소프트웨어도구에서 위험 요소의 계산에 중요한 파라미터는 3개의 범주로 분할된다.

- 이 규격에 제공된 정의와 가능성에 따라 선정할 것을 사용자에게 요구되는 파라미터 (표 J.1 참조)
- 사용자의 선택이 이 규격에 제공된 파라미터의 부분집합으로 제한된 파라미터 (표 J.2 참조)
- 코드에서 고정되어 사용자가 변경할 수 없는 파라미터 (표 J.3 참조)

[표 J.1] 사용자가 자유롭게 변경할 수 파라미터

| 파라미터 | 값 (1/년) |
|--|-----------|
| 보호대상 구조물의 길이, 폭, 높이 | L, W, H |
| 낙뢰밀도 | N_g |
| 위치계수 | C_d |
| 환경계수 | C_e |
| 인입설비의 유형(전원선, 기타 가공인입설비, 기타 지중인입설비) 주 : 변압기는 단지 전원선에 대해서만 가능하다. | |

[표 J.2] 사용자에 의해 변경되는 파라미터의 제한된 부분집합

| 파라미터 | 약어/기호 |
|---|------------------|
| 구조물 차폐효용성 | K_{SI} |
| 내부 배선유형 | K_{SS} |
| 외부 인입설비의 차폐(외부배선의 유형) | P_{LD}, P_{LI} |
| 화재에 의한 손실계수 : 사용자는 보호대상 구조물의 유형을 지정한다. 주 : 부속서 C에서 정의된 것과 같이 모든 4가지 손실유형에 대한 L_t 의 계산은 가능하지 않다. 사용자는 주어진 목록에서 보호대상 구조물의 유형을 선정해야 한다. | L_t |
| 과전압에 의한 손실계수 주 : 부속서 C에서 정의된 것과 같이 모든 4가지 손실유형에 대한 L_o 의 계산은 가능하지 않다. 사용자는 주어진 목록에서 보호대상 구조물의 유형을 선정해야 한다. | L_o |
| 경제적 손실인 유형 L_4 의 손실에 대하여 이 단순화된 소프트웨어 해결책에서 보호대책의 비용 효과의 검토는 실행되지 않는다. 이것이 요구되면 사용자는 경제적 손실의 허용 위험성을 선정해야 한다. | |

[표 J.3] 고정 파라미터 (사용자에 의해 변경되지 않는)

| 파라미터 | 약어/기호 |
|--|----------|
| 인입설비의 길이 | L_c |
| 가공 인입설비의 경우 : 높이 | H_c |
| 인접 건물을 고려되지 않음 | N_{D1} |
| 구조물 내부 구역의 차폐효용성이 고려되지 않음 | N_{D2} |
| 이 인입설비에 접속된 내부 기기의 임펄스내전압 (1.5 kV) | N_{D4} |
| 인축에 대한 충격의 확률 | P_A |
| 토양 또는 바닥의 유형 | r_s |
| 인명 손실인 유형 L_1 의 손실에 대하여, 보호대상 구조물의 내측과 외측의 3m 까지에서 보폭전압과 접촉전압에 대한 손실계수 | L_t |
| | 0.01 |

[비고]

파라미터 값에 관한 더 상세한 정보는 SIRAC(마우스로 click-down메뉴의 눌러서)에서 직접 알 수 있다.

J.3 계산화면의 예

H.1절(시꼴 가옥)에 기술된 예에 대한 계산화면을 그림 J.1(보호대책이 시설되지 않는 경우)과 그림 J.2(H.1절에 기술된 것과 같은 보호대책이 시설된 경우, 주로 인입구에 레벨 IV 파워시스템과 SPD)에 나타내었다.

■ 낙뢰피해 위험도 평가

파일 (F) 도움말 (H)

| | | | | | | | |
|--------------------------|---------------------------|---------------------------|-----------|---|-----------|---|-----------|
| 구조물의 치수 | 15 | | | | | | |
| 구조물의 높이 (m) | 20 | | | | | | |
| 구조물의 폭 (m) | 6 | | | | | | |
| 지붕면까지의 높이 (m)* | 6 | | | | | | |
| 가장 높은 풀출부까지의 높이 (m)* | 6 | | | | | | |
| *지면으로부터 축정 | | | | | | | |
| 수평면적 (m ²) : | 2,578 m ² | | | | | | |
| 구조물의 속성 | | | | | | | |
| 물리적 손상의 리스크 : | 낮음 | | | | | | |
| 구조물 차폐 효과 : | 낮음 | | | | | | |
| 내부배선의 유형 : | 비자폐 | | | | | | |
| 환경적 영향 | | | | | | | |
| 위치 계수 : | 독립 구조물 | | | | | | |
| 환경 계수 : | 시골 | | | | | | |
| 뇌우일수 (월/년) : | 40 일/년 | | | | | | |
| 연간 낙뢰밀도 : | 4,000 회/km ² | | | | | | |
| 연간뇌우일수 지도 보기 | 지도보기 | | | | | | |
| 리스크 | | | | | | | |
| 허용리스크 (R ₀) | 직격위 리스크 (R _d) | 간접위 리스크 (R _i) | 산출리스크 (R) | | | | |
| 인명 손실 : | 1.00E-005 | => | 1.03E-008 | + | 2.32E-005 | = | 2.32E-005 |
| 공공설비 손실 : | 1.00E-003 | => | 0.00E+000 | + | 0.00E+000 | = | 0.00E+000 |
| 문화재 손실 : | 1.00E-003 | => | 0.00E+000 | + | 0.00E+000 | = | 0.00E+000 |
| 경제적 손실 : | 1.00E-003 | => | 0.00E+000 | + | 0.00E+000 | = | 0.00E+000 |

인입설비

전원선

인입선의 유형 :

외부케이블의 유형 :

변압기 사용 유무 :

순실 유형

유형 1. 인명 손실

인명에 대한 특수위험 요소 :

화재에 의한 손실 :

과전압에 의한 손실 :

유형 2. 공공설비 손실

화재에 의한 손실 :

과전압에 의한 손실 :

유형 3. 문화재 손실

화재에 의한 문화재 손실 :

유형 4. 경제적 손실

경제성에 대한 특수위험 :

화재로 인한 손실 :

과전압으로 인한 손실 :

보복 및 접촉 전압 손실계수 :

경제적 손실의 허용 리스크 :

계산

[그림 J.1] 시끌 가옥에 대한 예(H.1절 참조-보호대책이 시설되지 않은 경우)

■ 낙뢰피해 위험도 평가

파일 (F) 도움말 (H)

| | | | | | | | |
|--------------------------|---------------------------|---------------------------|-----------|---|-----------|---|-----------|
| 구조물의 치수 | 15 | | | | | | |
| 구조물의 높이 (m) | 20 | | | | | | |
| 구조물의 폭 (m) | 6 | | | | | | |
| 지붕면까지의 높이 (m)* | 6 | | | | | | |
| 가장 높은 풀출부까지의 높이 (m)* | 6 | | | | | | |
| *지면으로부터 축정 | | | | | | | |
| 수평면적 (m ²) : | 2,578 m ² | | | | | | |
| 구조물의 속성 | | | | | | | |
| 물리적 손상의 리스크 : | 낮음 | | | | | | |
| 구조물 차폐 효과 : | 낮음 | | | | | | |
| 내부배선의 유형 : | 비자폐 | | | | | | |
| 환경적 영향 | | | | | | | |
| 위치 계수 : | 독립 구조물 | | | | | | |
| 환경 계수 : | 시골 | | | | | | |
| 뇌우일수 (월/년) : | 40 일/년 | | | | | | |
| 연간 낙뢰밀도 : | 4,000 회/km ² | | | | | | |
| 연간뇌우일수 지도 보기 | 지도보기 | | | | | | |
| 리스크 | | | | | | | |
| 허용리스크 (R ₀) | 직격위 리스크 (R _d) | 간접위 리스크 (R _i) | 산출리스크 (R) | | | | |
| 인명 손실 : | 1.00E-005 | => | 2.17E-007 | + | 6.95E-007 | = | 9.11E-007 |
| 공공설비 손실 : | 1.00E-003 | => | 0.00E+000 | + | 0.00E+000 | = | 0.00E+000 |
| 문화재 손실 : | 1.00E-003 | => | 0.00E+000 | + | 0.00E+000 | = | 0.00E+000 |
| 경제적 손실 : | 1.00E-003 | => | 0.00E+000 | + | 0.00E+000 | = | 0.00E+000 |

인입설비

전원선

인입선의 유형 :

외부케이블의 유형 :

변압기 사용 유무 :

순실 유형

유형 1. 인명 손실

인명에 대한 특수위험 요소 :

화재에 의한 손실 :

과전압에 의한 손실 :

유형 2. 공공설비 손실

화재에 의한 손실 :

과전압에 의한 손실 :

유형 3. 문화재 손실

화재에 의한 문화재 손실 :

유형 4. 경제적 손실

경제성에 대한 특수위험 :

화재로 인한 손실 :

과전압으로 인한 손실 :

보복 및 접촉 전압 손실계수 :

경제적 손실의 허용 리스크 :

계산

[그림 J.2] 시끌 가옥에 대한 예(H.1절 참조-보호대책이 시설된 경우)

한국 산업 규격

피뢰시스템-제3부 : 구조물의 물리적 손상 및 인명위험

KS C IEC

62305-3 : 2007

Protection against lightning – Part 3 : Physical damage to structures and life hazard

서문이 규격은 2006년에 제1판으로 발행된 IEC 62305-3, Protection against lightning – Part 3 : Physical damage to structures and life hazard를 번역하여 기술적인 내용과 규격의 양식을 변경하지 않고 한국산업규격으로 제정한 것이다.

[해설]

KS C IEC 62305-2는 폐지된 KS C IEC 61024-1, KS C IEC 61-24-1-1과 KS C IEC 61024-1-2규격의 주요 내용과 새로이 강화된 내용으로 구성되었다.

1. 적용범위

KS C IEC 62305의 제3부는 피뢰시스템에 의한 구조물의 물리적 손상의 보호 및 피뢰시스템 주위의 접촉전압과 보폭전압에 의한 인축의 상해보호에 대한 요건을 제공하며, 본 규격은 다음에 적용할 수 있다.

- a) 높이의 제한이 없이 구조물을 보호하는 피뢰시스템의 설계, 시공, 검사 및 유지관리
- b) 접촉전압과 보폭전압에 의한 인축의 상해에 대한 보호대책의 확립

[비고]

1. 폭발성 물질의 취급으로 주위가 위험한 구조물을 보호하는 피뢰시스템의 특별요건을 고려하고 있으며, 일시적 사용을 위한 추가정보는 부속서 D에 기술되어 있다.
2. 과전압에 의한 전기전자시스템고장의 보호에 대한 특별요건은 KS C IEC 62305-4에 기술되어 있다.

2. 인용규격

아래의 인용규격은 이 규격의 적용에 필수적이다. 발행년도가 표기된 인용규격의 경우 언급된 판만이 적용된다. 발행년도

가 표기되지 않은 인용규격의 경우 인용규격(모든 개정판 포함)의 최신본을 적용한다.

KS C IEC 60079-10 : 2004, 방폭 전기 기계 · 기구-제10부 : 위험지역의 분류

KS C IEC 60079-14 : 2004, 방폭 전기 기계 · 기구-제14부 : 위험지역의 전기설비

KS C IEC 61241-10 : 2006, 분진 방폭 전기 기계 · 기구-제10부 : 분진폭발 위험장소

KS C IEC 61241-14 : 2006, 분진 방폭 전기 기계 · 기구-제14부 : 선정 및 설치

KS C IEC 61643-12 : 2005, 저전압 서지 보호 장치-제12부 : 저전압 배전 계통에 접속한 서지 보호 장치-선정 및 적용 지침

KS C IEC 62305-1, 피뢰시스템-제1부 : 일반원칙

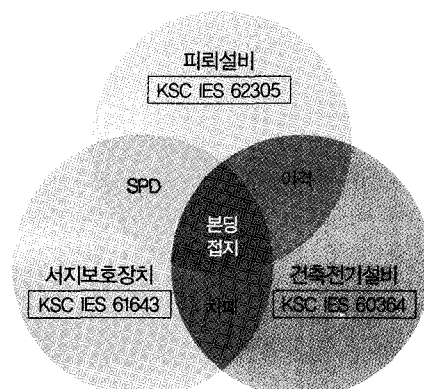
KS C IEC 62305-2, 피뢰시스템-제2부 : 위험성 관리

KS C IEC 62305-4, 피뢰시스템-제4부 : 구조물 내부의 전기전자시스템

KS A ISO 3864-1, 안전색 및 안전표지-제1부 : 작업장 및 공장소 안전표지의 디자인 원칙

[해설]

피뢰설비는 건축물에 시설하게 되므로 KS C IEC 62305규격군만을 적용하는 것보다는 저압 서지보호장치에 관한 KS C IEC 61643규격군과 건축전기설비에 관한 KS C IEC 60364규격군을 함께 적용해야 한다. 아래의 그림에 나타낸 것처럼 이를 규격군의 규정을 적절히 반영해야 합리적이고 효율적인 피뢰설비의 설계 및 시공이 이루어지게 된다.



피뢰설비 관련 규격의 상관성

다음호에 계속▶▶